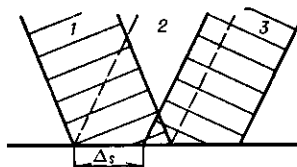


так, будто отражается плоская волна. При отражении пучка, падающего из жидкости на границу раздела с твёрдым телом, возникает отражённый пучок, форма к-рого является зеркальным отражением распределения амплитуды в падающем пучке. Однако при углах падения, близких к продольному критич. углу θ_L или рэлеевскому углу θ_R , наряду с зеркальным отражением происходит эф. возбуждение боковой или вытекающей рэлеевской волны. Поле отражённого пучка в этом случае является суперпозицией зеркально отражённого пучка и переизлучённых волн. В зависимости от ширины пучка, упругих и вязких свойств граничащих сред возникает либо латеральное (параллельное) сдвиг пучка в плоскости раздела (т. н. смещение Шоха) (рис. 8), либо существенное уширение пучка и появление тонкой

Рис. 8. Латеральное смещение пучка при отражении: 1 — падающий пучок; 2 — зеркально отражённый пучок; 3 — реально отражённый пучок.

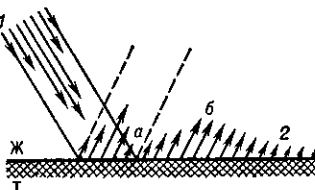


структурь. При падении пучка под углом Рэлея характер искажений определяется соотношением между шириной пучка l и радиц. затухания вытекающей рэлеевской волны

$$\alpha_R = A \frac{\rho_{\text{ж}}}{\rho_{\text{р}}} \frac{c^2}{c_{\text{р}}^2} \frac{1}{\lambda},$$

где λ — длина звуковой волны в жидкости, A — числовой множитель, близкий к единице. Если ширина пучка значительно больше длины радиц. затухания ($\alpha_R l \gg 1$), происходит лишь смещение пучка вдоль поверхности раздела на величину $\Delta_s = 2/\alpha_R$. В случае узкого пучка ($\alpha_R l < 1$) за счёт переизлучения вытекающей поверхностью волны пучок существенно уширяется и перестаёт быть симметричным (рис. 9). Внутри области, занятой зеркально отражённым пучком, в результате интерференции возникает нулевой минимум амплитуды и пучок распадается на две части. Незеркальное отражение коллимиров. пучков возникает и на границе двух жидкостей при углах падения, близких к критическико му, а также при отражении пучков от слоёв или пла-

Рис. 9. Отражение звукового пучка конечного сечения, падающего из жидкости Ж на поверхность твёрдого тела T под углом Рэлея: 1 — падающий пучок; 2 — отражённый пучок; a — область нулевой амплитуды; b — область хвоста пучка.



стин. В последнем случае незеркальный характер отражения обусловлен возбуждением в слое или пластине вытекающих волноводных мод. Существенную роль играют боковые и вытекающие волны при отражении фокусированных УЗ-пучков. В частности, эти волны используются в **микроскопии акустической для формирования акустич. изображений** и проведения количеств. измерений.

Лит.: 1) Бреховских Л. М., Волны в слоистых средах, 2 изд., М., 1973; 2) Ландау Л. Д., Либшиц Е. М., Гидродинамика, 4 изд., М., 1988; 3) Бреховских Л. М., Годин О. А., Акустика слоистых сред, М., 1989; 4) Cagniard L., Réflexion et réfraction des ondes sismiques progressives, Р., 1939; 5) Ewing W. M., Jardetzky W. S., Press F., Elastic waves in layered media, N. Y.—[a. o.], 1957, ch. 3; 6) Auld B. A., Acoustic fields and waves in solids, v. 1—2, N. Y.—[a. o.], 1973; 7) Bergotin H. L., Tamir T., Unified theory of Rayleigh-angle phenomena for acoustic beams at liquid-solid interfaces, *Appl. Phys.*, 1973, v. 2, № 4, p. 157; 8) Mot G., Reflection and refraction coefficients at a fluid-solid interface, *J. Acoust. Soc. Amer.*, 1971, v. 50, № 3 (pt 2), p. 819; 9) Becke F. L., Richardson R. L., Influence of material properties on Rayleigh critical-angle reflectivity,

J. Acoust. Soc. Amer., 1972, v. 51, № 5 (pt 2), p. 1609; 10) Fiorito R., Überall H., Resonance theory of acoustic reflection and transmission through a fluid layer, *J. Acoust. Soc. Amer.*, 1979, v. 65, № 1, p. 9; 11) Fiorito R., Madigosky W., Überall H., Resonance theory of acoustic waves interacting with an elastic plate, *J. Acoust. Soc. Amer.*, 1979, v. 66, № 6, p. 1857; 12) Neubauer W. G., Observation of acoustic radiation from plane and curved surfaces, в кн.: *Physical acoustics. Principles and methods*, ed. by W. R. Mason, R. N. Thurston, v. 10, N. Y.—L., 1973, ch. 2. В. М. Левин.

ОТРАЖЕНИЕ РАДИОВОЛН — отражение волн эл.-магн. природы в диапазоне от сверхдлинных волн вплоть до границы светового диапазона (см. *Радиоволны*). Как и в случае световых волн, О. р. обусловлено резким (в пределах длины эл.-магн. волн) изменением макроскопич. параметров среды, характеризующих распространение радиоволни: диэлектрич. (ϵ) и магн. (μ) проницаемостей. Для О. р. справедливы все общие закономерности отражения волн. Важность и специфика О. р. обусловлены его широким использованием в практике радиосвязи, радиолокации, радионавигации, телевидения и исследования окружающей среды и как следствие — большим разнообразием свойств ϵ и μ отражающих сред и геометрии отражающих объектов. В случае О. р. от резкой границы протяжённых объектов (длина волны $\lambda \ll l$ — характерного размера отражающего тела) с гладким покрытием (диэлектрич. и металлич. покрытия, снежная, водная и др. поверхности) имеет место зеркальное О. р., к-рое описывается *Френелля формулами*. При наличии шероховатостей отражающей поверхности происходит *диффузное отражение*. При размере тела $l \ll \lambda$ отражается малая часть энергии волны (частичное О. р.). На использовании зеркального, диффузного и частичного О. р. основаны радиолокация и радиозондирование. Зеркальное О. р. наблюдается в параболич. антенах, радиовысотомерах, ионозондах и т. д. Диффузное О. р. происходит, напр., при радиолокации планет с космич. аппаратов. О. р. от движущихся объектов сопровождается изменением частоты отражённой волны (см. *Доплера эффект*). Этот эффект широко используется для определения скорости отражающих объектов.

Эффективное О. р. происходит от объёмных неоднородностей в среде размером $l \sim \lambda$, что встречается в практике исследования атмосферы (отражение санти-, милли- и субмиллиметровых волн от частиц пыли, осадков и аэрозолей). Аналогичный эффект возникает в среде с непрерывным заполнением слабыми ($\Delta/\epsilon \ll 1$, $\Delta/\mu \ll 1$) неоднородностями диэлектрич. (либо магн.) проницаемости. При этом осн. роль играет О. р. от *дифракционной решётки* с пространственным периодом $l_p \sim \lambda$, образованной неоднородностями среды. На этом эффекте основан т. н. метод частичных отражений для исследования атм. и ионосферных неоднородностей. Причём для увеличения эффективности О. р. используют искусственно созданные дифракц. решётки с тем же пространств. периодом l_p (при радиоакустич. зондировании атмосферы и нек-рых др. исследованиях нижней ионосферы).

О. р. сильно зависит от геом. характеристик и резонансных свойств отражающего объекта (см. *Волновод*, *Волновод металлический*, *Волноводное распространение радиоволн*). Напр., тонкая диэлектрич. (или магн.) пластина толщиной d порядка длины падающей волны λ в зависимости от соотношения d и λ может дать либо полное отражение, либо полное прохождение радиоволны. На этом эффекте основаны селективные по частоте запирающие либо согласующие устройства. При плавных изменениях ϵ и μ О. р. происходит от слоя, в к-ром составляющая волнового вектора волны в проекции на grad ϵ (или grad μ) обращается в нуль. О. р. при этом описывается *Снелля законом* и др. законами геом. оптики. Последоват. многократное О. р. от поверхности Земли и ионосферы является основой загоризонтной радиолокации и радиосвязи (см. *Загоризонтное распространение радиоволн*). В то же время многократные О. р. в городах вносят помехи для телевидения и радиовеща-